

## 조합하중을 받는 선체판부재의 2차좌굴거동 해석

박 주 신<sup>\*</sup> · 고 재 용<sup>\*\*</sup>

\* 오사카대학교 대학원 조선해양공학 박사과정, \*\* 목포해양대학교 해양시스템공학부 부교수

### Secondary Buckling Behavior Analysis on the Ship's Plate under Combined Load(Lateral Pressure Load and Axial Compressive Load)

Joo-Shin Park \* · Jae-Yong Ko \*\*

\* Graduate Engineering, Department of Naval Architecture & Ocean Engineering, Osaka University

\*\* Faculty of Ocean System Engineering, Mokpo National Maritime University

**요약 :** 선체를 구성하는 판부재는 일반적으로 면내하중과 횡하중의 조합하중이 작용하게 된다. 면내하중으로서는 주로 전처적인 선체거더의 휨과 비틀림에 의한 압축하중 및 전단하중이 있다. 횡하중은 수압과 화물압력에 의해서 작용하게 된다. 이러한 하중의 요소들은 항상 동시에 작용하는 것은 아니지만 한 개 이상의 하중이 존재하고 상호작용하게 된다. 그러므로, 좀 더 합리적이고 안정적인 선박구조의 설계를 위해서는 이러한 조합하중이 선체판에 작용할 경우에 발생하게 되는 좌굴 및 최종강도거동의 상호관계를 좀 더 자세히 분석할 필요가 있다. 실제로 선체판은 슬래밍과 팬팅과 같은 충격하중을 제외하고는 상대적으로 작은 수압이 작용하게 된다. 본 연구에서는 조합하중을 받는 선체판부재의 거동에 있어서 최종한계상태 설계법에 기반을 둔 탄소성대변형 유한요소해석을 수행하였다. 본 연구에서는 압축하중과 횡하중이 판부재에 작용하였을 경우 횡하중의 크기에 따른 2차좌굴 거동의 영향을 탄소성대변형 유한요소해석(ANSYS)으로 분석하였다.

**핵심용어 :** 최종한계상태설계, 횡하중, 최종강도, 유한요소법, 2차좌굴

**ABSTRACT:** The ship plating is generally subjected to combined in-plane load and lateral pressure loads. In-plane loads include axial load and edge shear, which are mainly induced by overall hull girder bending and torsion of the vessel. Lateral pressure is due to water pressure and cargo. These load components are not always applied simultaneously, but more than one can normally exist and interact. Hence, for more rational and safe design of ship structures, it is of crucial importance to better understand the interaction relationship of the buckling and ultimate strength for ship plating under combined loads. Actual ship plates are subjected to relatively small water pressure except for the impact load due to slamming and panting etc. The present paper describes an accurate and fast procedure for analyzing the elastic-plastic large deflection behavior up to the ultimate limit state of ship plates under combined loads. In this paper, the ultimate strength characteristics of plates under axial compressive loads and lateral pressure loads are investigated secondary buckling behavior through ANSYS elastic-plastic large deflection finite element analysis with varying lateral pressure load level.

**KEY WORDS :** Ultimate Limited Stated Design, Lateral Pressure, Ultimate Strength, FEM, Secondary Buckling

### 1. 서 론

선체가 과랑하중을 받게되면 선체구조를 구성하는 판부재에는 일반적으로 면내하중과 횡하중이 작용하게 된다. 특히, 선체가 호깅모우멘트를 받는 조건일 경우에는 선체에는 수압과 동시에

압축력이 작용하게 된다. 이에 관한 선행 연구로서는 Paik, 1998), (Yamamoto, 1970), (Yao.T, 1999)등에 의해서 연구되었으며, 주로 선체 주요 종횡비에 대해서 횡하중의 크기를 변수로 하여 압축최종강도에 미치는 영향을 분석하였다.

그러나, 선체에는 정수압 뿐만 아니라 슬래밍(Slamming)이나 팬팅(Panting)처럼 순간적인 동적충격압을 받게 되면 정수압보다 적은 압력을 받더라도 구조부재에 손상을 줄 수가 있다. 본

\* 대표저자 : 정회원, Joo\_Shin\_Park@naoe.eng.osaka-u.ac.jp 080)1153-9326  
\*\* 정회원, kojy@mmu.ac.kr, 061)240-7129

연구에서는 횡하중이 적은 경우에 대해서도 고려를 하고 있으며, 박판 부재에서 주로 발생하게 되는 2차좌굴거동을 고려한 최종 강도 해석을 다루고 있다. 선체판의 탄소성대변형 거동에서 수 압의 영향은 일반적으로 종횡비에 따라서 다르게 나타나게 된다. 판종횡비가 1.0인 경우 수압이 작용하여 발생한 처짐파형과 압축하중이 단독으로 작용하였을 때의 처짐은 거의 일치하고 있으며, 수압과 동시에 압축력이 작용하게 되면 압축력의 증가와 함께 처음부터 처짐이 서서히 증가하여 명확한 좌굴현상은 나타나지 않고 압축력이 작용하는 처음부터 서서히 면내강성이 감소하게 된다.(백점기 등, 1998) 본 연구에서는 조합하중이 작용하는 하중조건에 대해서 횡하중의 영향을 밝히는데 있어서 실제 고려 할 수 있는 여러 가지 변수들의 영향을 최대한 고려하여 유한요소 시리즈해석을 실시하였다.

## 2. 수치 계산이론 및 해석 모델링

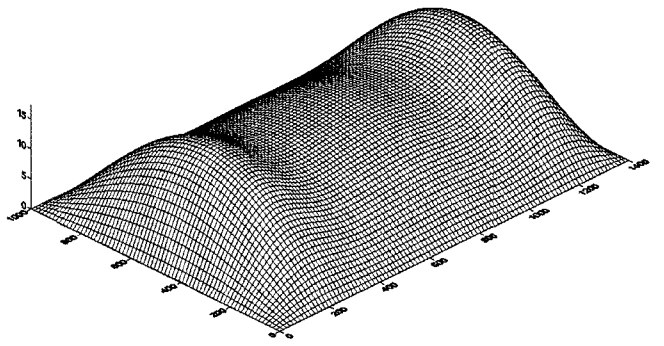
### 2.1 수치계산이론

선체판의 비선형 탄소성대변형거동을 해석하기 위해서 범용유한요소해석 프로그램인 ANSYS V9.0 사용하였다. 본 연구에 사용된 유한요소는 4절점을 가진 사각형 쉘(shell) 요소이고 비선형 해석제어 기법으로는 박판부재의 탄소성좌굴 거동에 나타나게 되는 2차좌굴에 의한 Snap-through와 같은 천이거동을 정확하게 해석하기 위하여 Full Newton-Raphson Method와 Arc-length method를 병용하여 해석하였다. 이때 Arc-length method는 하중제어와 변위제어를 동시에 제어하게 되며 하중-변위응답 거동이 불안정점을 지나는 경우, 접선 강성 행렬의 값이 음인 경우 수치적으로 안정된 해를 찾을 수 있는 장점을 지니고 있다. 또한 분기점(Bifurcation Point)이 존재하지 않는 경우 가장 적합한 방법이다. 비선형 좌굴해석을 수행할 때 사용한 해석기법은 Sparse direct solver를 이용하였다. 수렴기준에 있어서는 반복구간에서의 하중과 모멘트의 오차의 SRSS(Square root sum of the squares)값이 적용된 하중의 SRSS값의 0.03%가 되었을 때 수렴한 것으로 설정하였으며, 조합하중이 작용하는 해석이므로 하중응답 계산 시 각 해석구간마다 부구간으로 300step을 설정하였다. 초기 Arc radius의 값은 min 0.0001에서 max 15까지의 범위를 설정하여 해의 수렴도가 실제 하중-변위응답에 가깝도록 설정하였다.

### 2.2 해석 모델링

본 연구에서는 조합하중(횡하중+압축하중)이 작용하는 선체판을 대상으로 탄소성대변형 비선형 좌굴해석을 실시하였고, 해석에 사용된 판 종횡비(a/b)는 1.0, 1.4, 2.5, 3.6, 4.4인 사각형판의 해석에 있어서 실제 DWT 172K 산적화물선 이중저 구조에서 사용되고 있는 보강재와 보강재 사이의 평판의 물성치를 모델링에 적용하였다. 판 주변 경계조건은 네변 단순지지조건으로 이 상화 하였고 압축하중이 작용할 경우 네변 모두 직선을 유지하도록 탄성커플링 조건을 적용하였다. 면외하중인 횡하중과 면내

하중 성분인 종방향 압축하중이 작용하는 조합하중조건을 가정하였다. 선체구조는 용접 및 절단등의 열가공 공정으로 인해 건조하게 되면서 필연적으로 비대칭적 초기결함이 발생하게 된다. 본 연구에서는 발생 가능한 초기결함 형태 중 실제 계측된 데이터를 적용하여 실제 판부재의 조건을 최대한 이상화 하였다. 이때 용접이나 절단등의 열가공에 의한 판의 부가 처짐량을 초기처짐모드로 적용하였으며, 사인파형의 고유좌굴모드와 실제 계측된 길이방향 비대칭 초기처짐모드 그리고 초기처짐이 없는 경우를 고려하였으며, 초기처짐이 존재할 수 있는 방향은 Z축의 상단과 하단으로 고려하였다.



$$w_o = w_{opl} \sum_{i=1}^{11} B_{oi} \sin \frac{\pi x}{a} \sin \frac{\pi y}{b}$$

Fig. 1. Typical pattern of welding-induced initial deflection in ship plating.

Fig.1에서는 판종횡비(a/b)가 1.4인 경우에 본 연구에서 적용한 초기처짐이 적용된 상태의 형상을 나타내고 있다. 판의 전체 초기처짐에 처짐계수  $B_{oi}$ 는 다음과 같이 종방향으로는 11개의 처짐계수를 사용하여 최소 포텐셜에너지원리를 이용하여 이 상화 하였다. 이러한 비대칭적인 초기처짐 형상을 본 해석 시스템(ANSYS)에 적용하기 위하여 모델데이터의 좌표정보를 포트란 코딩을 통하여 변환하여 초기처짐이 적용된 상태의 모델데이터를 해석에 적용하였다.

$$\begin{aligned} B_{o1} &= -1.346, & B_{o2} &= -0.090, & B_{o3} &= -0.224, \\ B_{o4} &= -0.036, & & & & \\ B_{o5} &= -0.087, & B_{o6} &= -0.082, & B_{o7} &= 0.102, \\ B_{o8} &= -0.036, & & & & \\ B_{o9} &= -0.014, & B_{o10} &= 0.026, & B_{o11} &= -0.028 \end{aligned}$$

일반적인 판에서는 절단, 용접 등의 열 가공에 의해 초기결함이 처음부터 잔류응력이나 초기처짐과 같이 존재하게 된다. 초기결함의 존재여부와 초기결함의 분포 형태에 따라 판의 비선형 거동에 상당한 영향력을 미치게 되며 거동형태 또한 복잡하게 나타난다. Ueda, Y & Yao, T(1985)는 실제 6만톤급 벌크캐리

어와 5,500대 규모의 카 캐리어의 상갑판 판넬 총 33가지 모델에서 용접 후 발생한 판재의 초기처짐형상을 실제 계측하였다. 계측된 판넬의 종횡비는 1.0~5.0이며, 세장비( $b/t$ )는 20~100이고 최대 초기처짐은 판재 두께의 50%이내에서 차등 적용하여 탄소성대변형 유한요소 시리즈 해석을 수행하였다. 본 연구에서는 열가공 후 발생되는 초기결합 조건을 이상화 하기 위해서 Ueda & Yao(1985)의 실제 계측 초기처짐형상 중 대표적인 초기처짐형상을 해석에 적용하였고, 횡하중의 크기에 따라 발생하게 되는 2차좌굴거동을 고려한 압축최종강도 거동에 대해서 분석하였다.

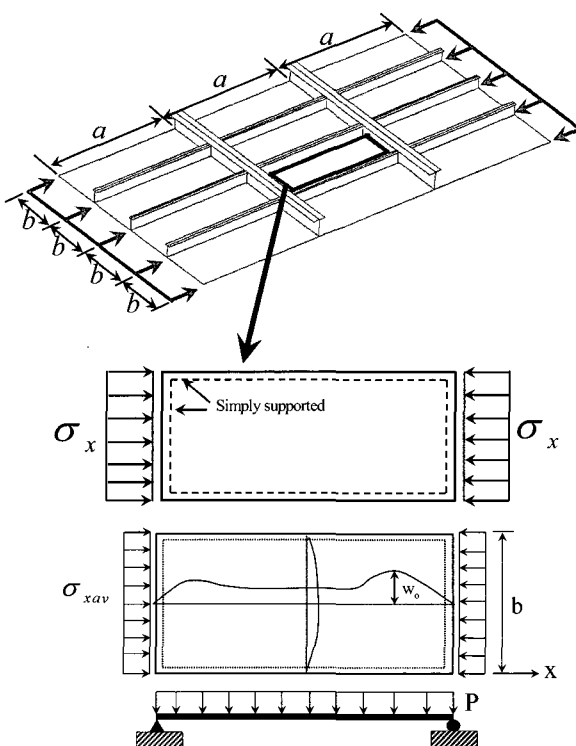


Fig. 2. A simply supported plate with non-symmetric initial deflection under uniaxial compression and lateral pressure load.

Fig.2에서는 하중조건과 지지조건 및 F.E.A 모델을 나타내고 있다. 해석에 사용된 재료의 물성치는 AH36 고장력강이고 판 폭( $b$ )=1000 mm, 판 두께( $t$ )=10 mm, 탄성계수( $E$ )= 205.8 GPa, 포아송비( $\nu$ )=0.3, 항복응력( $\sigma_y$ )=352.8 MPa,  $W_{opt}=0.1 \times \beta^2 \times t$ 를 적용하였다(Smith's average level).

### 3. 수치해석 및 고찰

Fig.3에서는 유한요소해석에 앞서 조합하중(횡하중+압축하중)이 작용하는 경우에 대해서 종축은 응력을 항복응력으로 무차원화하였고, 횡축은 작용된 횡하중을 나타내고 있으며, 선행연구 자료와의 비교를 나타내고 있다. 비교 대상은 Yamamoto et al, (1970)의 실험결과와 ALPS/ULSAP의 FEM 결과 그리고 본 연

구에서 사용한 ANSYS 해석 결과이다. Yamamoto의 실험에서는 횡하중의 크기가 증가함에 따라 최종강도 변화가 불규칙적으로 나타나고 있으며 ALPS/ULSAP의 계산 결과치는 횡하중이 증가함에 따라 압축최종강도는 규칙적으로 감소하고 있다. 본 연구의 유한요소해석 결과치에서도 횡하중의 작용 크기에 따라 압축최종강도는 상대적으로 낮게 평가되는 경향을 나타내고 있으며 ALPS/ULSAP의 결과치와 유사한 경향을 보이고 있다.

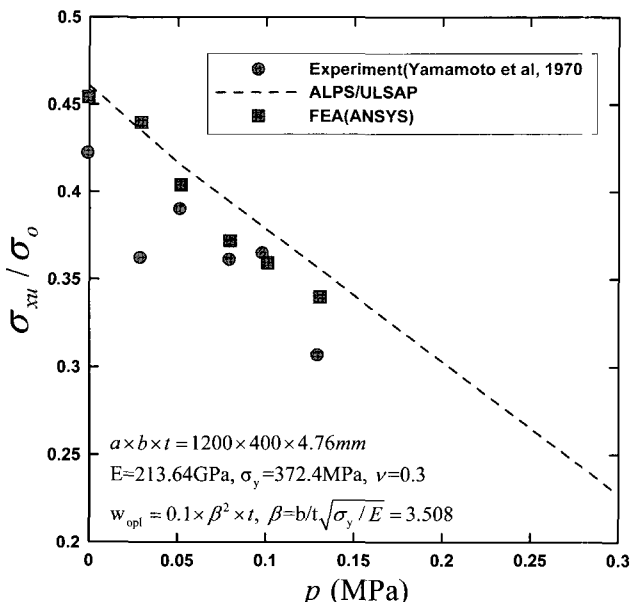


Fig. 3. Comparison of the FEA(ANSYS) and ALPS/ULSAP method with the Yamamoto collapse test results for plating under combined longitudinal axial compression and lateral pressure loads.

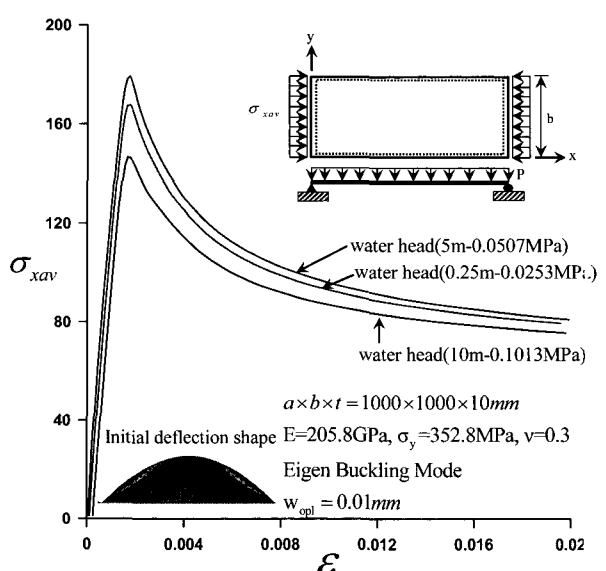


Fig. 4. Comparison of compressive stress-strain curves with small initial deflection for aspect ratio 1.0.

Fig.4에서는 관종횡비가 1.0인 정사각형판에 대해서 고유치좌굴모드를 적용하고 판내 최대초기처짐이 0.01mm인 미소 초기처짐 상태에서의 조합하중에 대한 탄소성대변형 거동 결과를 나타내고 있다. 정사각형판에서는 횡하중의 크기가 압축최종강도에 미치는 영향이 적게 나타나고 있으며, 횡하중의 크기가 크게 작용한 경우인 water head(5m)에서의 압축최종강도가 횡하중이 적게 작용한 water head(2.5m)의 경우보다 높게 평가되었다.

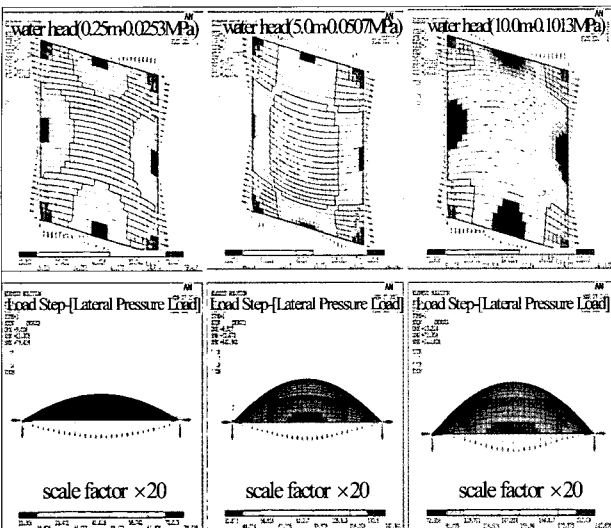


Fig. 5. Comparison of deflection shape on the lateral pressure load with small initial deflection for aspect ratio 1.0.

이러한 현상은 관종횡비가 1.0인 정사각형판에서 횡하중의 크기가 비교적 적은 경우에는 초기항복 이후에도 상대적으로 큰 인장막응력(Tension Membrane Stress)이 작용하여 최종적인 판의 붕괴거동에 저항요소로 작용함으로서 최종강도를 상당히 높게 평가하는 것으로 사료된다. Fig.4의 응력-변형률 관계의 그래프에서의 거동 원인을 규명하기 위하여 Fig.5에서는 횡하중의 크기에 따른 처짐모드와 응력분포도를 나타내고 있다. 네변 단순지지조건에서는 네변 모서리 부분에서 압축응력에 의해서 응력집중이 발생하고 있으며, 횡하중의 크기가 0.1013MPa이 작용하면 횡하중에 의해 네변 모서리에서 소성항복을 하게 되며 횡하중에 의한 처짐량은 횡하중의 크기에 비례하고 있다.

Fig.6에서는 Fig.4와 해석조건을 동일하게 하고 판의 최대초기처짐값을 Smith's average level을 적용하였을 경우의 탄소성대변형 거동을 나타내고 있다. 상선구조에서 발생할 수 있는 평균적인 최대초기처짐값을 적용한 상태에서의 거동을 살펴보면 횡하중의 크기가 0.1013MPa에서는 횡하중에 의한 소성항복이 압축하중이 작용하기도 전에 판내 모서리와 중앙부분에서 발생하였다. 이에 따라 압축최종강도는 현저히 낮게 평가되고 있다. 그러나, 횡하중의 크기가 0.0507MPa와 0.0253MPa에서는 횡하중의 작용크기는 2배이지만 압축최종강도는 오히려 0.0507MPa의 횡하중이 작용한 상태에서 최종강도는 더 높게 평가되었다. 그러나, 최종강도 이후의 거동에 있어서 면내강성 감소율은 더 크게 저하하고 있다. Fig.6에서도 알 수 있듯이 횡하중의 크기가

0.0253MPa 혹은 0.0507MPa은 상대적으로 적은 횡하중의 크기에 따라 횡하중과 압축하중이 동시에 작용하는 매커니즘에서는 횡하중의 작용 크기가 압축최종강도를 결정하는 요소가 되지 못하고 있다. 그러나, 횡하중의 크기가 위 경우보다 크게 작용된 0.1013MPa에서는 횡하중이 작용한 순간부터 면내소성항복이 발생하여 압축하중이 작용하게 되면 최종강도는 현저히 낮게 나타나고 있다.

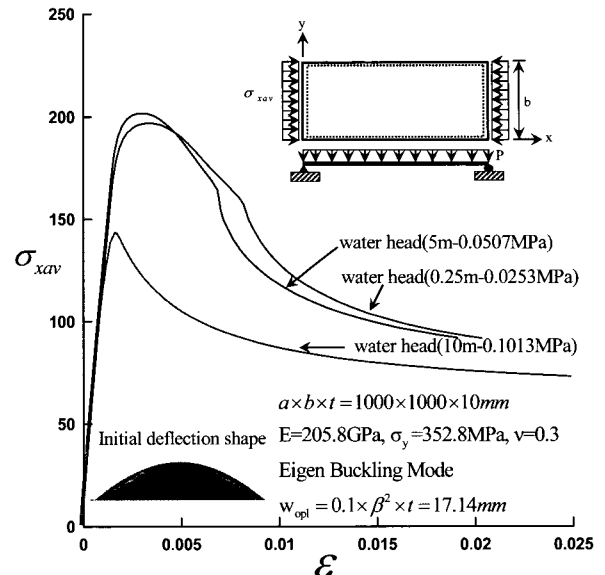


Fig. 6. Comparison of compressive stress-strain curves for with eigen buckling mode for aspect ratio 1.0.

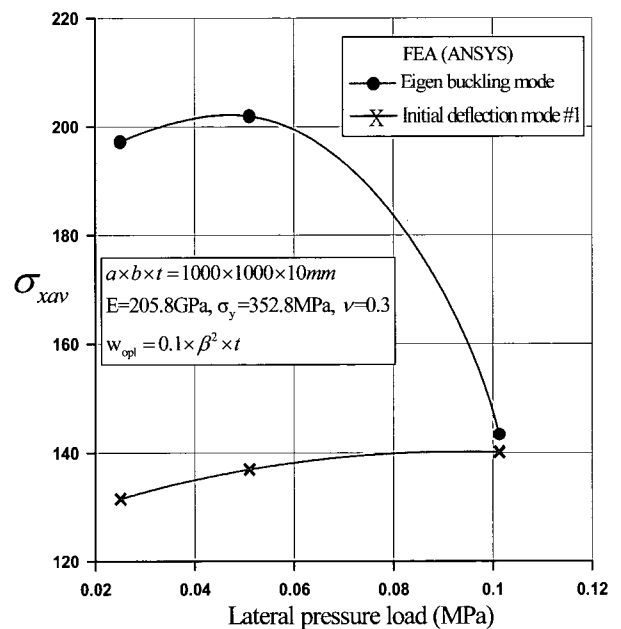


Fig. 7. Comparison of compressive stress versus lateral pressure load according to the initial deflection type for aspect ratio 1.0.

Fig.7은 정사각형판(판종횡비 1.0)에서의 고유치좌굴모드와 열가공에 의한 초기처짐형상을 적용한 경우에 대해서 종축은 압축최종강도를 횡축은 작용된 횡하중의 크기를 나타내고 있다. 고유치좌굴모드를 적용한 경우에는 비대칭 초기처짐모드를 적용한 경우에 비해서 최종강도를 상당히 높게 평가하고 있으며, 횡하중의 크기가 0.1MPa 이상인 경우에 대해서는 초기처짐의 형태의 영향을 거의 받지 않고 있다. 이는 상대적으로 횡하중의 크기가 증가하게 되면 횡하중에 의해서 압축최종강도는 어느 정도 결정되어진다고 말할 수 있다.

Fig.8에서는 정사각형판에서 실제 열가공후 발생할 수 있는 초기처짐형상을 적용한 상태에서 횡하중의 크기를 변수로 하여 응력-변형률 관계로 나타내고 있다. 적용된 초기처짐의 형상이 hungry-horse mode라고 불리우는데 이 초기처짐의 형상으로 인하여 횡하중이 작용하게 되면, 면외방향으로 처짐이 발생하게 된 상태에서 종방향 압축하중이 작용하면 횡하중이 작용된 크기에 반비례하는 최종강도 분포를 나타나게 된다. 그러나, 횡하중이 작용된 크기가 클수록 최종강도 이후의 면내강성 감소는 크게 나타나고 있다.

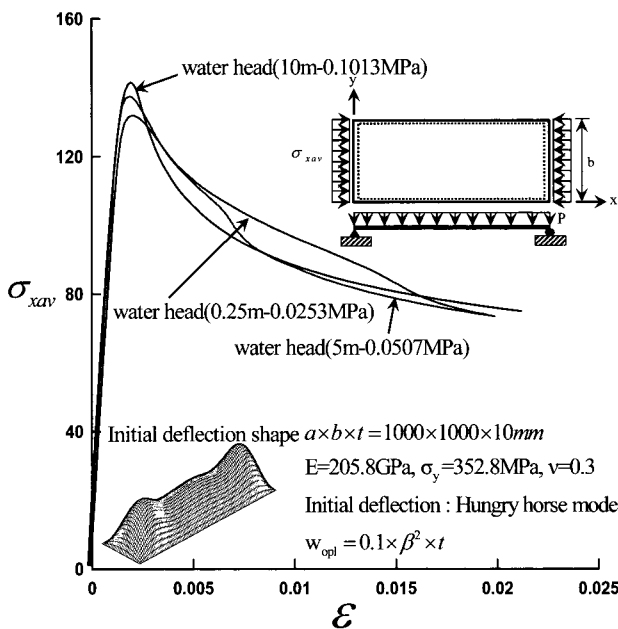


Fig. 8. Comparison of compressive stress-strain curves with hungry-horse mode for aspect ratio 1.0.

Fig.9에서는 좌굴모드 분기형 종횡비인 1.4에서의 횡하중의 크기를 변수로 한 탄소성대변형 거동을 응력-변형률 관계로 나타내고 있다. 횡하중이 작용된 크기가 작을수록 압축최종강도는 높게 평가하고 있으며, 수압이 가장 적게 작용된 0.0253MPa에서는 2차좌굴이 발생하면서 급격한 좌굴모드 변화를 수반하고 있다.

Fig.10에서는 ALPS/ULSAP의 결과와 본 연구에서의 유한요소해석 결과를 비교하고 있다. 횡하중의 크기가 증가함에 따라서 압축최종강도가 감소하는 경향은 같으나, 상대적으로

ALPS/ULSAP의 결과에 비하여 ANSYS의 최종강도 평가가 낮게 나타나고 있으며, 횡하중의 크기가 증가할수록 차이는 줄어들고 있다. 특히, 가장 많은 차이를 보이고 있는 횡하중의 크기 0.0253MPa에서는 ALPS/ULSAP같은 경우에는 2차좌굴에 대한 고려를 하고 있지 않기 때문에 상대적으로 높은 최종강도를 나타내고 있다.

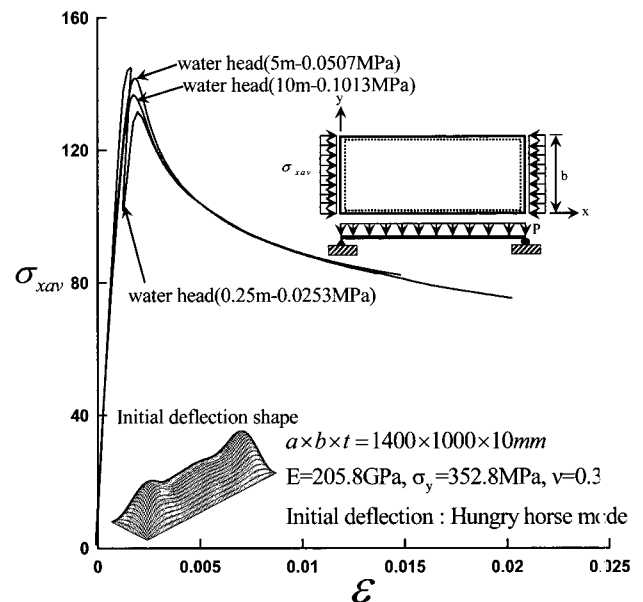


Fig. 9. Comparison of compressive stress-strain curves with hungry-horse mode for aspect ratio 1.4.

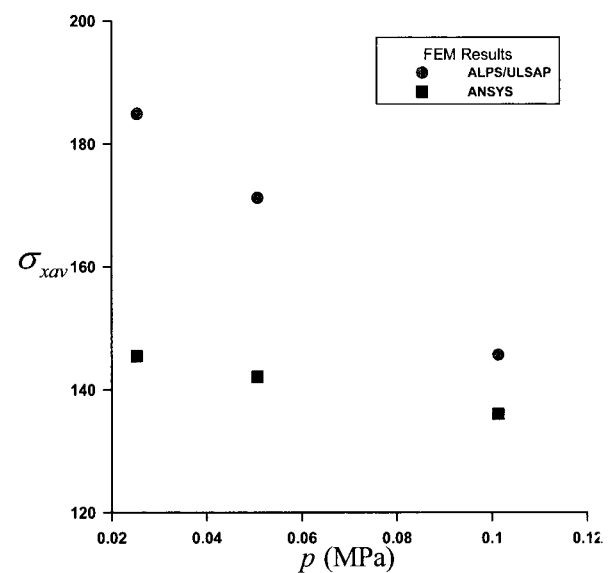


Fig. 10. Comparison between theoretical results and present FEA results for ultimate strength of plate subjected to lateral pressure load and uniaxial compression for aspect ratio 1.4.

Fig.11에서는 위에서 언급한 2차좌굴 거동을 고려한 해석결과를 나타내고 있다. 열가공에 의해서 발생되는 실제 초기처짐의 형상은 아주 다양하게 나타나며, 가장 일반적인 형태를 ○상화

하여 적용하면 양쪽 단부가 급성장한 비대칭적 모드에 의해서 횡하중이 작용하게 되면 불안정한 처짐모드를 유지하던 판이 압축하중이 작용하면서 면내강성이 서서히 감소하면서 안정된 모드인 3모드로 급격한 처짐모드 변화를 수반하는 2차좌굴이 발생하게 된다. 이러한 현상의 주요 원인은 비대칭적 초기처짐형상에 기인한다고 할 수 있으며 2모드에서 2차좌굴에 의해서 3모드의 처짐모드 변화를 보이면서 네번 모서리부분에서 발생한 응력집중현상이 처짐이 급격히 성장한 중앙부분으로 전개되어 소성 항복하면서 면내강성이 급격히 감소하는 거동을 Fig.12에서 나타내고 있다.

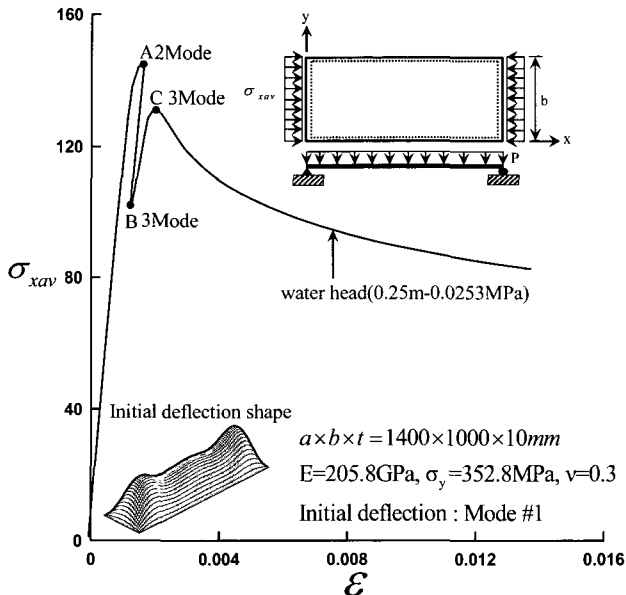


Fig. 11. Secondary buckling behavior with thin-horse mode under lateral pressure load and uniaxial compression for aspect ratio 1.4.

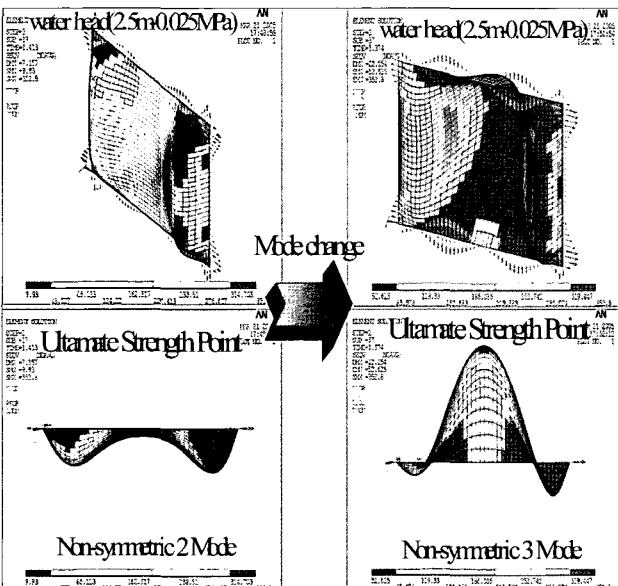


Fig. 12. A change deflection mode according to the load step with hungry horse mode ( $a/b=1.4$ ).

Fig.13에서는 편중횡비 2.5에서 횡하중의 크기에 따른 단소성 대변형거동을 응력-변형률 관계로 나타내고 있다. 이 종횡비에서는 횡하중의 크기가 0.0507MPa 이하의 횡하중이 작용하였을 경우에는 아주 유사한 거동을 나타내며, 횡하중의 크기가 0.01MPa에서는 2차좌굴 거동이 발생하면서 모드변화를 나타내게 된다. 이 종횡비에서도 알 수가 있듯이 상대적으로 적은 횡하중이 작용하였을 경우 좌굴파형에 영향력이 적고 이 상태에서 압축하중을 받게 되면 천이거동을 동반하게 된다. 선체판부재에서의 2차좌굴에 의한 강성손실은 엄청나며, 이와 같은 거동은 선체전체의 구조강도의 감소로 진전하여 선박구조 붕괴의 원인으로도 작용할 수가 있다.

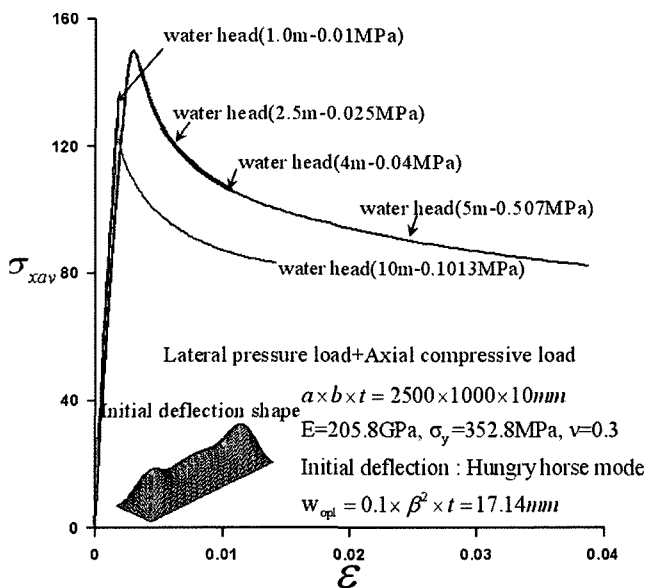


Fig. 13. Comparison of compressive stress-strain curves with hungry-horse mode for aspect ratio 2.5.

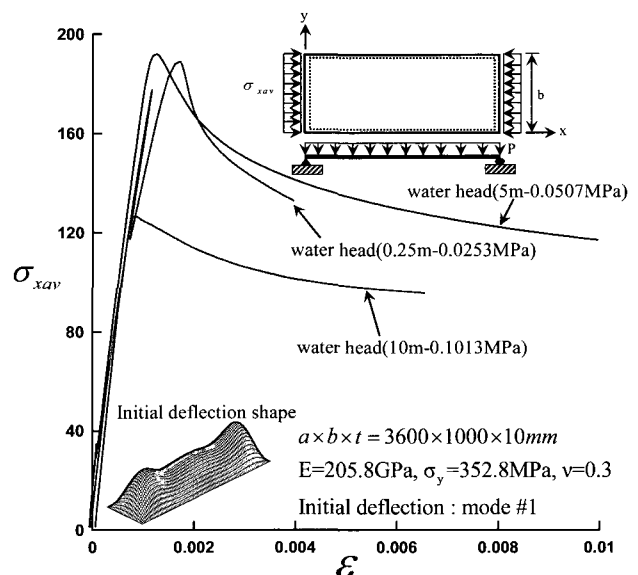


Fig. 14. Comparison of compressive stress-strain curves with hungry-horse mode for aspect ratio 3.6.

Fig.14에서는 관종횡비 3.6인 경우에 대해서 횡하중의 크기를 변화시켜가면서 탄소성대변형 거동의 결과를 응력-변형률 관계로 나타내고 있다. 고차 종횡비가 되면서, 횡하중의 크기가 증가하면 할수록 압축최종강도는 상대적으로 낮게 평가하고 있다. 그러나, 횡하중의 크기가 작은 0.0253MPa의 경우에는 2차좌굴이 발생하면서 급격한 처짐모드의 변화와 함께 면내강성이 감소로 인하여 최종강도를 낮게 나타내고 있다.

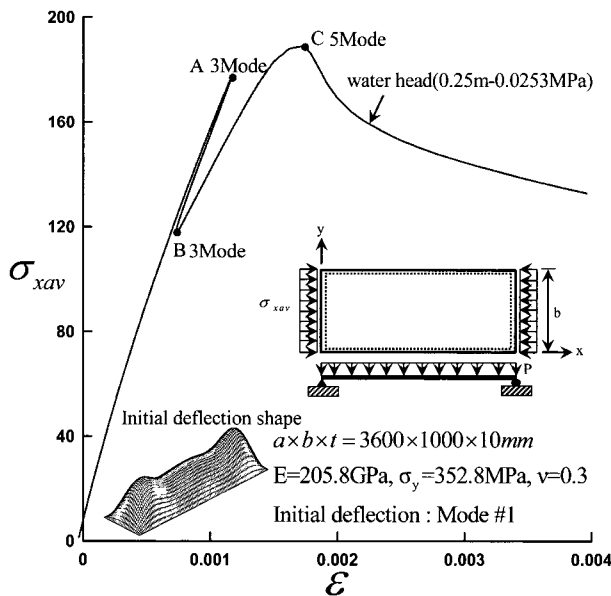


Fig. 15. Secondary buckling behavior with thin-horse mode under lateral pressure load and uniaxial compression for aspect ratio 3.6.

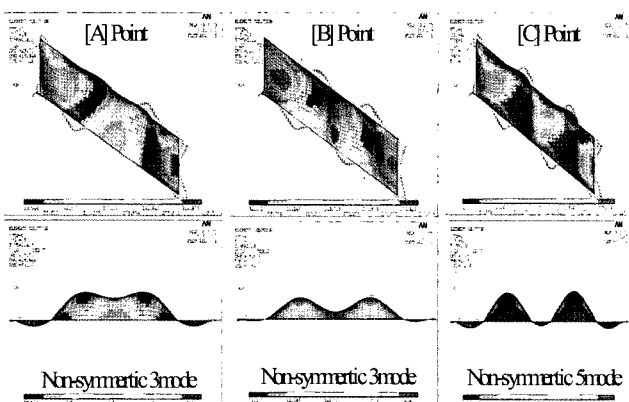


Fig. 16. A change deflection mode according to the point with hungry horse mode for aspect ratio 3.6.

Fig.15-16에서는 횡하중 0.0253MPa이 작용하고 압축하중이 작용한 하중조건에 대한 2차좌굴 거동을 나타내고 있다. 횡하중이 작용하였을 때 네변 모서리에서 발생한 응력집중이 압축하중이 작용하면서 처짐모드 방향으로 급격히 전개되는 현상을 보이고 있다. A점에서는 비대칭적 3모드를 나타내던 판이 B점에서는 3

모드와 4모드의 중간적인 모드를 나타내고 C점에서는 비대칭 5모드로 급격하게 변하면서 면내강성 또한 급격하게 감소하게 된다. 2차좌굴의 영향을 받지 않았으면 최종강도는 횡하중 0.0507MPa이 작용된 경우보다 높게 형성되었을 것이지만 2차좌굴이 발생하면서 압축 최종강도 거동은 아주 상이하게 나타나고 있다. 최근 선박설계 기술의 발달로 인하여 선체 판두께는 점점 감소하고 있으며, 박판부재의 좌굴 및 최종강도 해석 시에는 호장증분법을 적용하고 2차좌굴 거동을 고려한 해석을 해야만 구조설계 시 이러한 현상을 고려할 수가 있다.

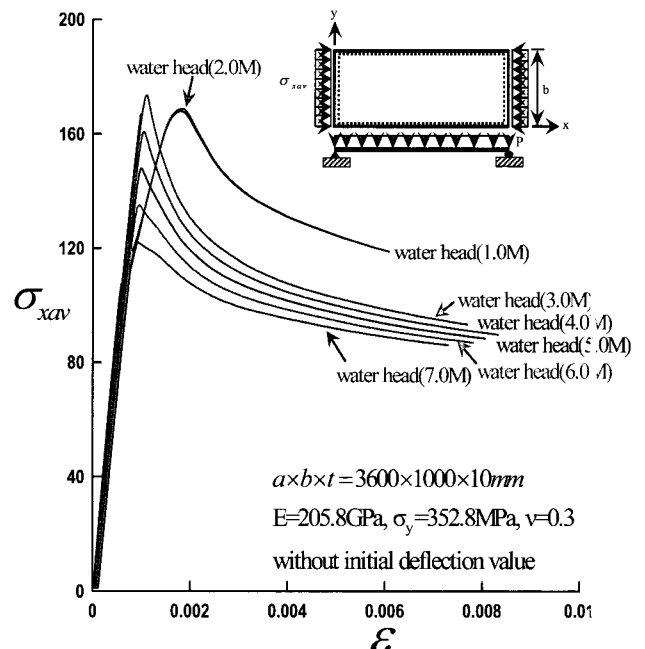


Fig. 17. Comparison of compressive stress-strain curves without initial deflection value for aspect ratio 3.6.

Fig.17에서는 필연적으로 존재하게 되는 초기처짐 조건을 부여하지 않고, 횡하중에 의해서 발생하게 되는 처짐상태를 초기처짐으로 가정하여 종횡비 3.6의 경우에 대한 탄소성대변형 거동을 응력-변형률 관계로 나타내고 있다. 횡하중의 크기가 증가할 수록 압축최종강도는 낮게 평가하고 있으나, water head가 1-2m에서는 2차좌굴의 발생으로 인하여 면내강성이 급격히 감소하고 이에 따라 최종강도 또한 낮게 평가하는 특징을 나타내고 있다. 결론적으로 아주 미소한 횡하중과 압축하중이 동시에 작용하는 경우 2차좌굴 거동은 지배적인 현상이며, 반드시 이를 고려한 호장증분법의 적용과 2차좌굴 거동을 해석할 수 있는 계산방법이 신중히 선택되어져야만 한다.

#### 4. 결론

본 논문에서는 횡하중과 압축하중을 받는 네변 단순지지된 선체판의 2차좌굴(Secondary Buckling)거동을 고려하여 횡하중의 크기에 따른 압축최종강도에 미치는 영향을 분석하였다. 사용된

유한요소해석 코드는 ANSYS와 포트란이며 비교에 사용된 FEM 코드는 ALPS ULSAP이다. 조합하중이 작용 할 때 열가공 후 발생하게 되는 초기처짐 데이터를 이용하여 초기처짐의 영향까지도 고려한 상태에서 유한요소 시리즈해석을 수행하여 다음과 같은 결론을 얻었으며, 차후 이 부분에 관한 실험이 병행되어 횡하중의 영향을 세밀히 분석할 필요성이 있다.

- 1) 열가공 후 발생하게 되는 초기처짐 데이터를 적용하고 횡하중의 크기가 비교적 작은 0.0253MPa이 작용하게 되면 압축최종강도 거동 시 2차좌굴이 발생하게 되며 이때 처짐모드변화를 수반하면서 면내강성이 급격히 감소한다.
- 2) 고차 종횡비로 가면 횡하중의 크기가 증가하면 훨수록 압축최종강도는 낮게 평가된다.
- 3) ALPS/ULSAP과 ANSYS의 결과는 횡하중의 크기가 0.1MPa 이상에서는 잘 일치하나 횡하중의 크기가 적으면 ALPS/ULSAP의 결과가 상당히 높게 평가하고 있다.
- 4) 고유치 좌굴모드를 적용하였을 경우에는 실제 판에 존재하게 되는 초기처짐 파형을 적용한 결과보다 최종강도를 높게 평가하는 결점을 보이고 있다.
- 5) 2차좌굴거동을 고려한 비선형 좌굴해석 시에는 호장증분법을 적용하여야 하며, 초기 호의 반지름과 각 스텝의 분할에 따라서 해석의 정도가 좌우된다.
- 6) 작용된 횡하중의 크기가 증가하여도 압축최종강도를 높게 평가하는 원인은 초기항복 이후 큰 인장막응력이 판의 봉괴에 저항요소로 작용하기 때문이다.

## 후 기

이 연구는 산업기술재단의 지역혁신인력양성사업의 지원으로 수행되었다.

## 참고 문헌

- [1] 백점기, Anil K. Thayamballi, 이상곤(1998) : 조합하중을 받는 선체 판부재의 최종강도 상관관계 특성, 부산대학교 생산기술연구소논문집, 제55집, pp.285-295.
- [2] Jeom Kee Paik, Anil K. Thayamballi and Bong Ju Kim(2001) : Advanced Ultimate Strength Formulations for Ship Plating Under Combined Biaxial Compression/Tension,

Edge Shear, and Lateral Pressure Loads, Marine Technology, Vol.38, No.1 , pp. 97-112.

- [3] Supple, W.J.(1970) : Change of Wave-Form of Plates in the Post-Buckling Range, Int. J.Solids Structures, Vol.6, pp.737-745.
- [4] Uemura, M. and Byon, O.(1976) : Secondary Buckling of a Flat Plate under Uniaxial Compression, Part I : Theoretical Analysis of Simply Supported Flat Plate, Int. J Non-Linear Mech., Vol.12, No.6, pp.355-370.
- [5] Uemura, M. and Byon, O.(1978) : Secondary Buckling of a Flat Plate under Uniaxial Compression ; Part II : Analysis of Clamped Plate by F.E.M and Comparison with Experiments, Int. J Non-Linear Mech., Vol.13, No.1, pp.1-4.
- [6] Nakamura, T. and Uetani, K.(1978) : Secondary Buckling and Post-Secondary Buckling Behavior of Rectangular Plates, Inct. J. Mech. Sci., Vol.21, pp.265-286.
- [7] Yao, T., Nikolov, P.I. and Miyagawa, Y.,(1992) : Influence of Welding Imperfections on Stiffness of Rectangular Plate Under Thrust, Mechanical Effects of Welding IUTAM Symp., (Eds.) Karlsson, L., Lindgren, L.-E. and Jonsson, M., Springer Verlag, pp.261-268.
- [8] Nakamura, T. and Uetani, K.(1978) : Secondary Buckling and Post-Secondary Buckling Behaviour of Rectangular Plates, Int. J. Mech. SCI., Vol.21, pp.265~286.
- [9] ANSYS User's manual 7.1 version(2003) : Non-linear buckling analysis SAP. Inc.
- [10] Yao, Y., Fujikubo, M. and Mizutani, K.(1996): Collapse Behavior of Rectangular Plate Subjected to Hydraulic Pressure and Inplane Compression, J. West-Japan Soc. Naval Arch., No.92, pp.249-262(in Japanese)

---

원고접수일 : 2005년 6월 14일

원고채택일 : 2005년 12월 20일